

コンピュータグラフィクス論

– モデリング (3) –

2021年5月6日

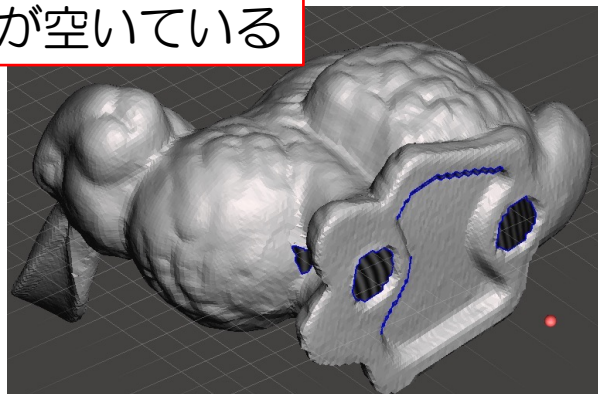
高山 健志

ソリッドモデリング

ソリッドモデルとは

- 3D空間の任意の位置で、モデルの“内側”と“外側”が定義できるもの

穴が空いている



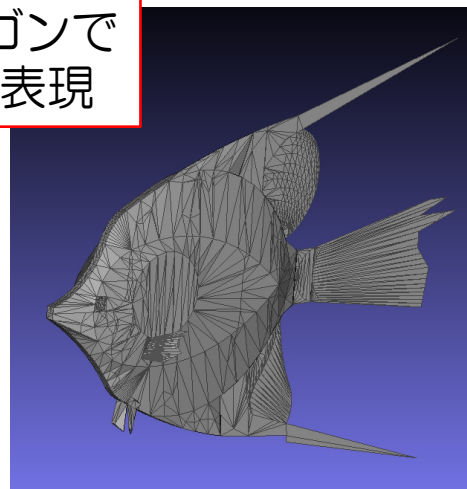
ソリッドでないケース

- 主な用途

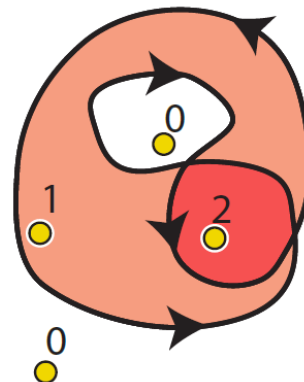
3D プリント



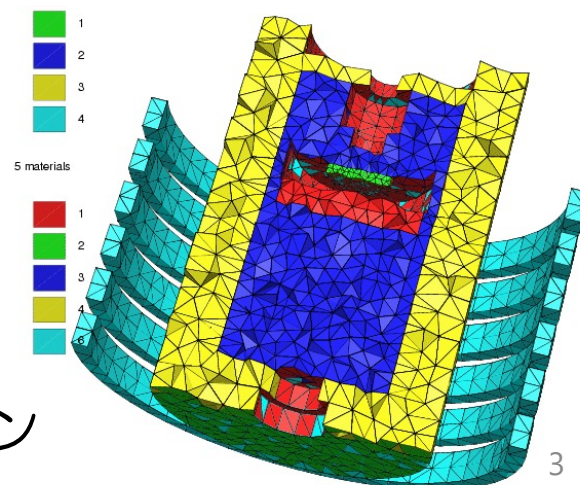
一枚のポリゴンで
薄い形状を表現



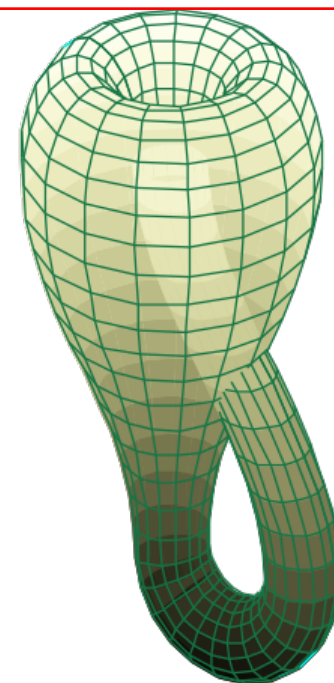
自己交差している



物理シミュレーション



向き付け不可能



Klein bottle

ソリッドモデルの predicate 関数

- 3D 座標 $\mathbf{p} \in \mathbb{R}^3$ がソリッドモデルの内部であれば true を、そうでなければ false を返す関数：

$$f(\mathbf{p}): \mathbb{R}^3 \mapsto \{ \text{true}, \text{false} \}$$

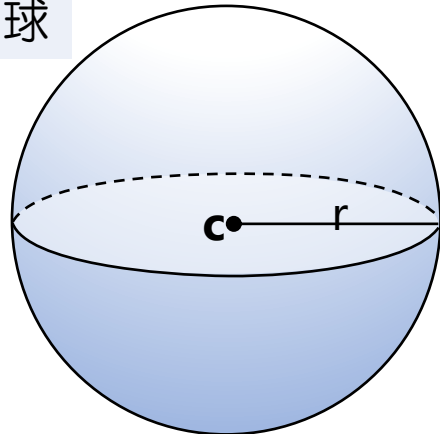
- モデル内部全体を表す集合：

$$\{ \mathbf{p} \mid f(\mathbf{p}) = \text{true} \} \subset \mathbb{R}^3$$

- 例：

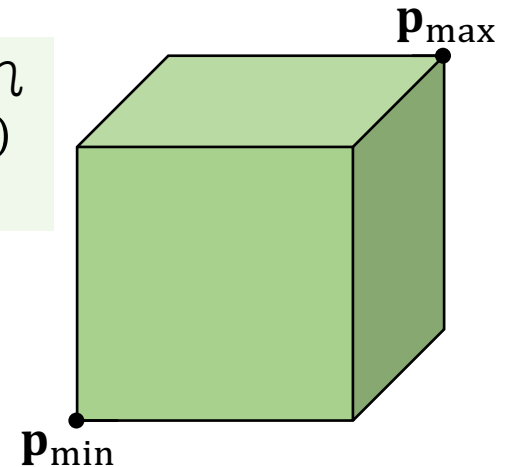
点 \mathbf{c} を中心とした半径 r の球

$$f(\mathbf{p}) := \|\mathbf{p} - \mathbf{c}\| < r$$



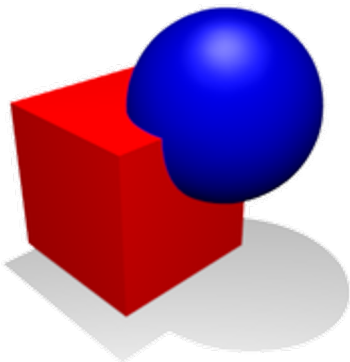
最小と最大の対角コーナーがそれぞれ $(x_{\min}, y_{\min}, z_{\min})$ と $(x_{\max}, y_{\max}, z_{\max})$ であるような直方体

$$\begin{aligned} f(x, y, z) := & (x_{\min} < x < x_{\max}) \\ & \wedge (y_{\min} < y < y_{\max}) \\ & \wedge (z_{\min} < z < z_{\max}) \end{aligned}$$



Constructive Solid Geometry (Boolean演算)

和



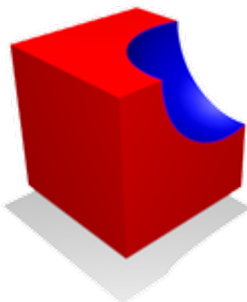
$$f_{A \cup B}(\mathbf{p}) := f_A(\mathbf{p}) \vee f_B(\mathbf{p})$$

積



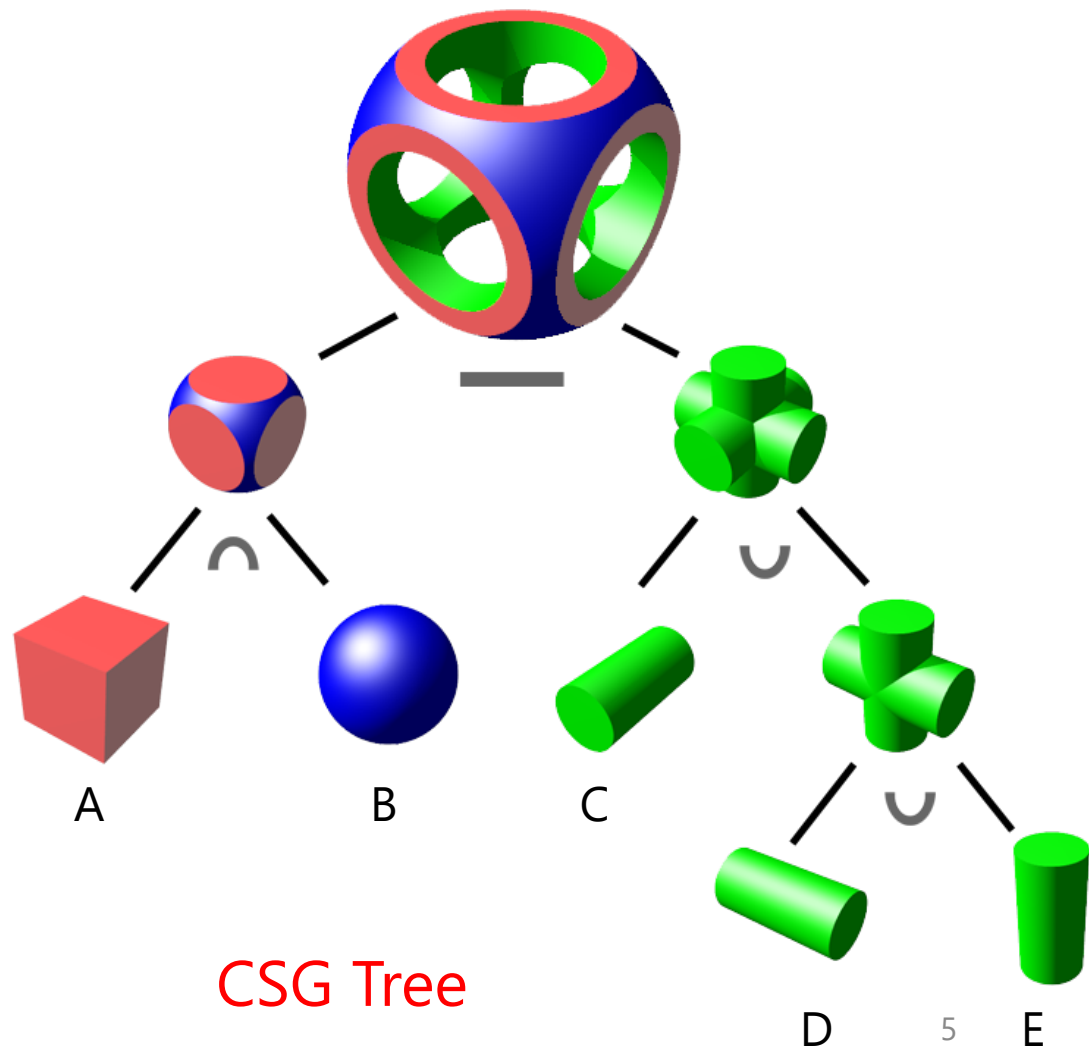
$$f_{A \cap B}(\mathbf{p}) := f_A(\mathbf{p}) \wedge f_B(\mathbf{p})$$

差



$$f_{A \setminus B}(\mathbf{p}) := f_A(\mathbf{p}) \wedge \neg f_B(\mathbf{p})$$

$$(A \cap B) \setminus (C \cup (D \cup E))$$

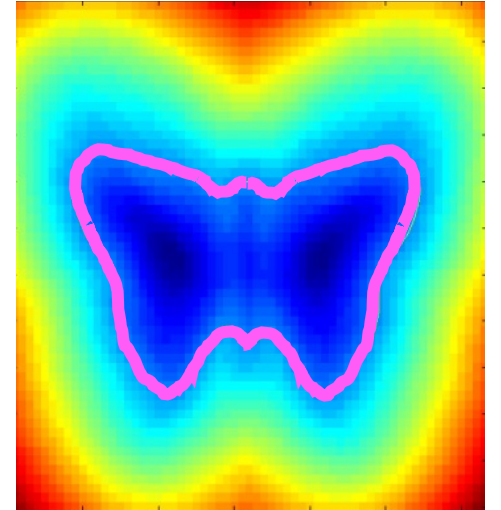


符号付き距離場によるソリッドモデル表現

- **Signed Distance Function**: 3D座標からモデル表面までの最短距離

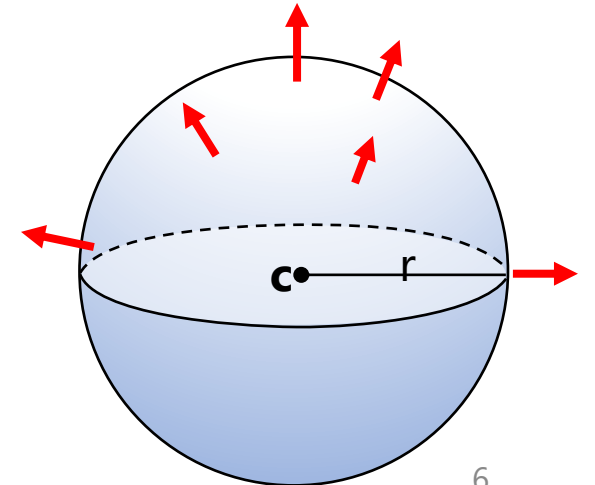
$$d(\mathbf{p}): \mathbb{R}^3 \mapsto \mathbb{R}$$

- 符号付き：内側では負、外側では正
- ソリッドモデルを表す predicate:
$$f(\mathbf{p}) := d(\mathbf{p}) < 0$$
- ゼロ等値面はモデル表面を表す：
$$\{\mathbf{p} \mid d(\mathbf{p}) = 0\} \subset \mathbb{R}^3$$
- 「陰関数表現」 「ボリューム表現」
- 等値面の**法線**は勾配 $\nabla d(\mathbf{p})$ の方向と一致



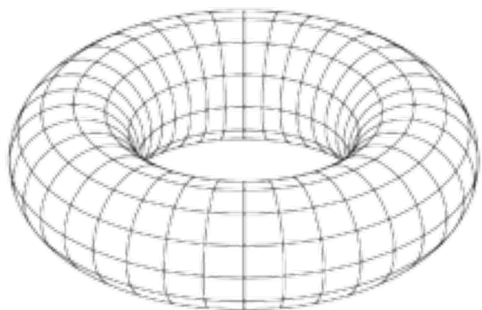
点 \mathbf{c} を中心とした半径 r の球

$$d(\mathbf{p}) := \|\mathbf{p} - \mathbf{c}\| - r$$



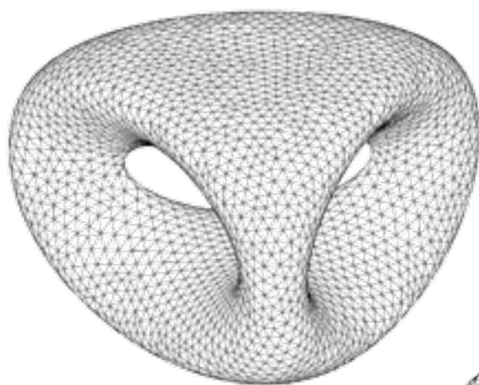
陰関数のデザイン例

必ずしも距離関数とは限らない

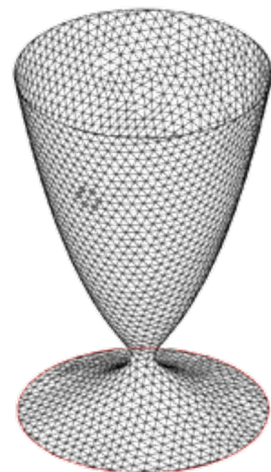


大半径 R , 小半径 a のトーラス

$$(x^2 + y^2 + z^2 + R^2 - a^2)^2 - 4R^2(x^2 + y^2) = 0$$



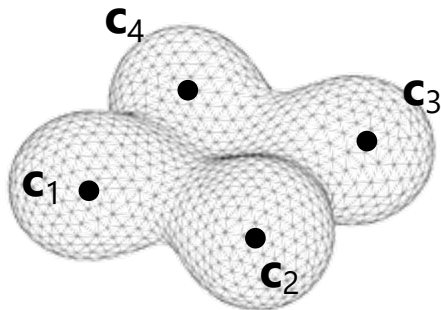
$$2y(y^2 - 3x^2)(1 - z^2) + (x^2 + y^2)^2 - (9z^2 - 1)(1 - z^2) = 0$$



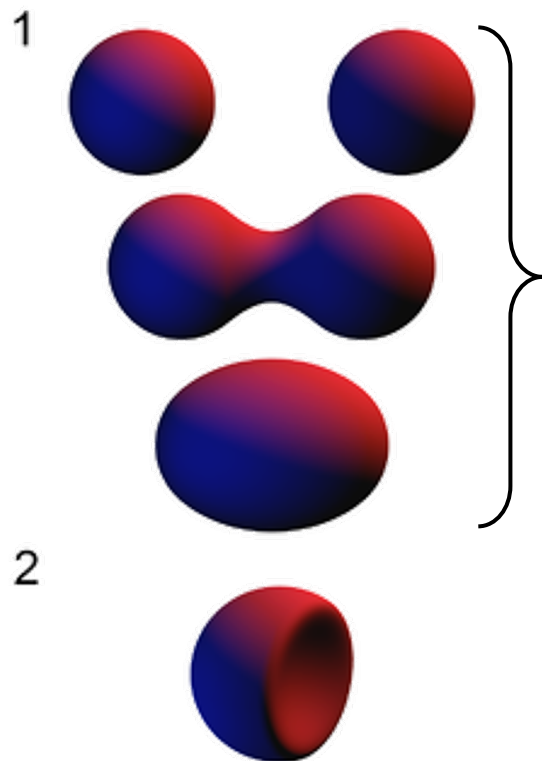
$$x^2 + y^2 - (\ln(z + 3.2))^2 - 0.02 = 0$$

陰関数のデザイン例：等電位面 (Metaball)

$$d_i(\mathbf{p}) = \frac{q_i}{\|\mathbf{p} - \mathbf{c}_i\|} - r_i$$



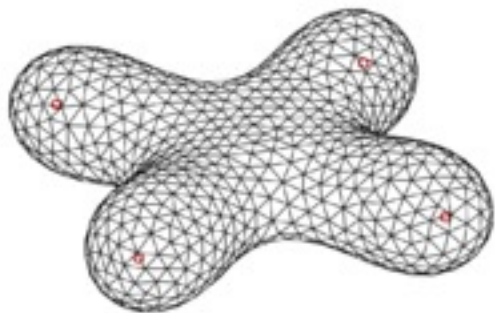
$$d(\mathbf{p}) = d_1(\mathbf{p}) + d_2(\mathbf{p}) + d_3(\mathbf{p}) + d_4(\mathbf{p})$$



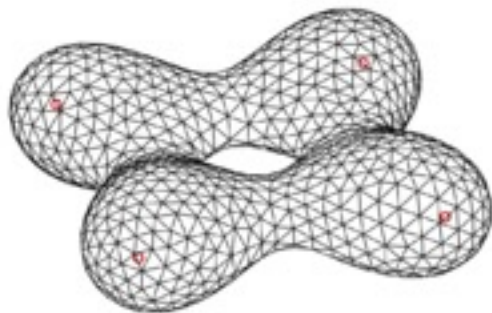
$$d(\mathbf{p}) = d_1(\mathbf{p}) + d_2(\mathbf{p})$$

$$d(\mathbf{p}) = d_1(\mathbf{p}) - d_2(\mathbf{p})$$

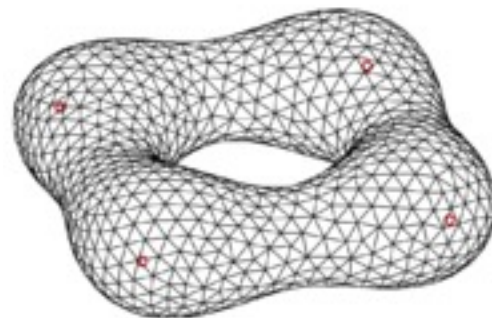
陰関数の線形補間によるモーフィング



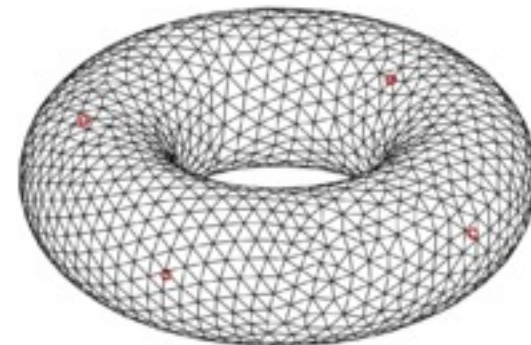
$$d_1(\mathbf{p}) = 0$$



$$\frac{2}{3}d_1(\mathbf{p}) + \frac{1}{3}d_2(\mathbf{p}) = 0$$



$$\frac{1}{3}d_1(\mathbf{p}) + \frac{2}{3}d_2(\mathbf{p}) = 0$$



$$d_2(\mathbf{p}) = 0$$

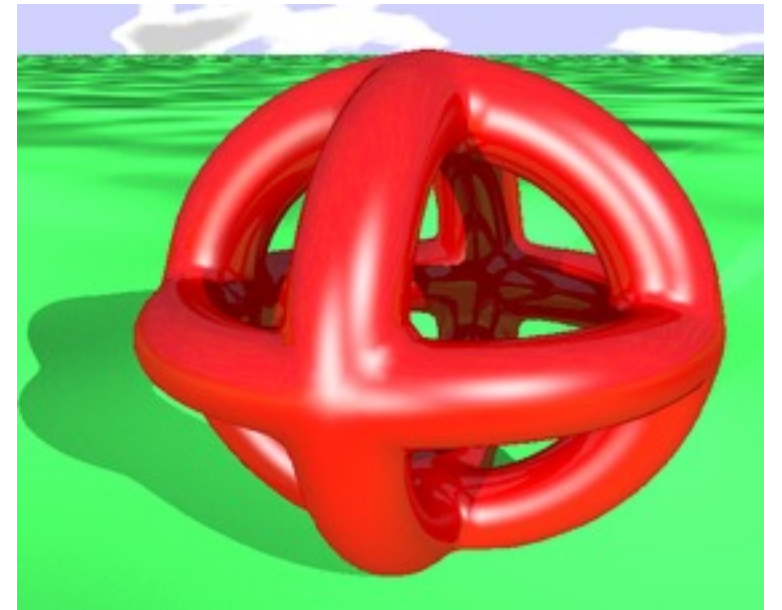
複数の陰関数を組み合わせたモデリング

$$F_1 = (x^2 + y^2 + z^2 + R^2 - a^2)^2 - 4R^2(x^2 + y^2) = 0$$

$$F_2 = (x^2 + y^2 + z^2 + R^2 - a^2)^2 - 4R^2(x^2 + z^2) = 0$$

$$F_3 = (x^2 + y^2 + z^2 + R^2 - a^2)^2 - 4R^2(y^2 + z^2) = 0$$

$$F(x, y, z) = F_1(x, y, z) \cdot F_2(x, y, z) \cdot F_3(x, y, z) - c = 0$$



より高度なブレンディング

- 2つの陰関数をブレンドする際、それらの**勾配の向き**に応じてブレンド方法を変える




従来法
(ただの和)



提案法



陰関数の性質を活用した3Dモデリングの例

A black rectangular area containing white text. The text is centered and reads "ShapeShop v002" in a large, bold, sans-serif font, with "Demo Reel" in a smaller, bold, sans-serif font below it.

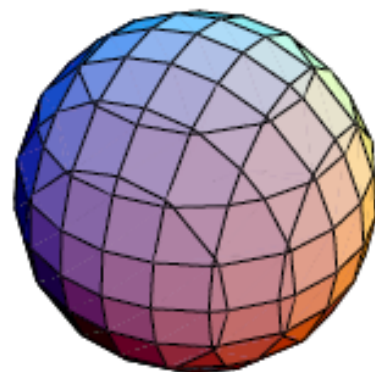
ShapeShop v002
Demo Reel

陰関数の性質を活用した3Dモデリングの例

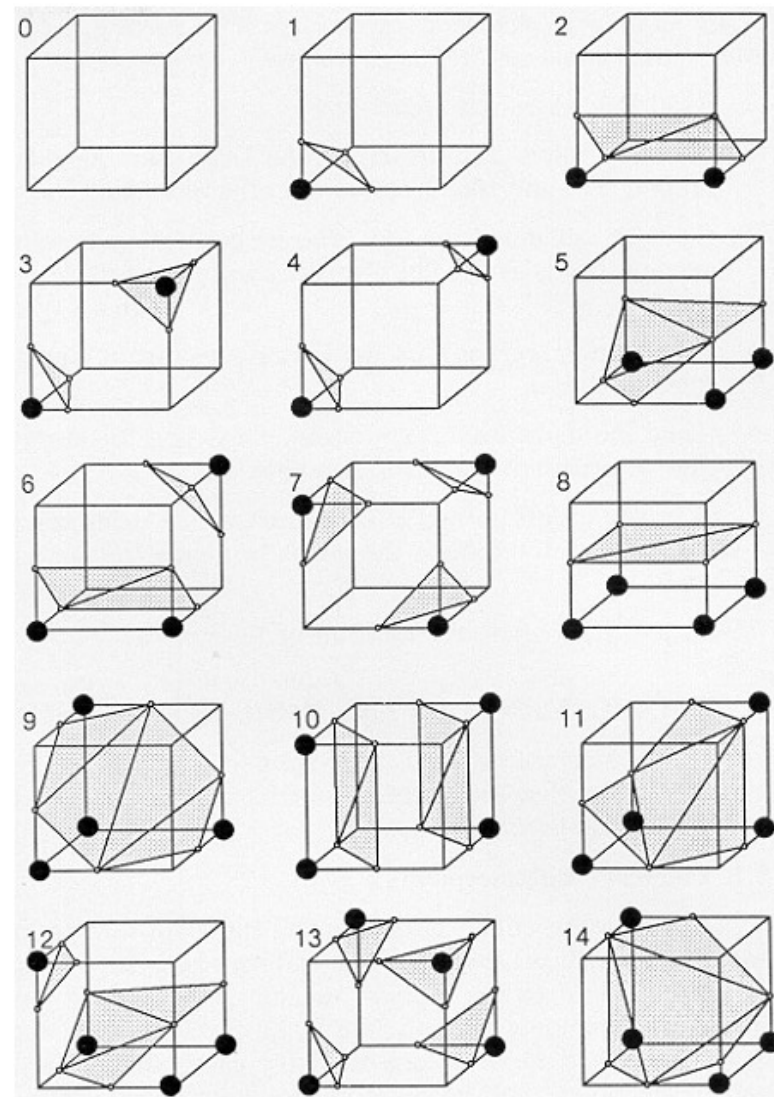
Sketching Interface
for Modeling Internal
Structure of 3D Shapes

陰関数の表示方法：Marching Cubes

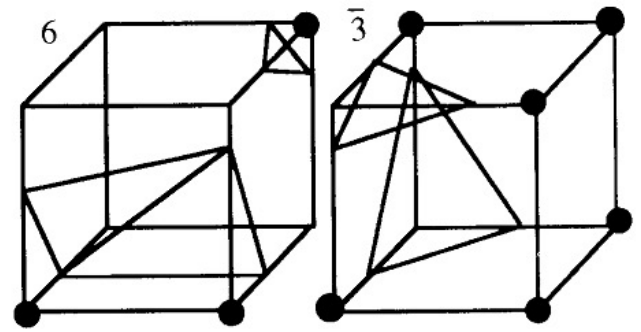
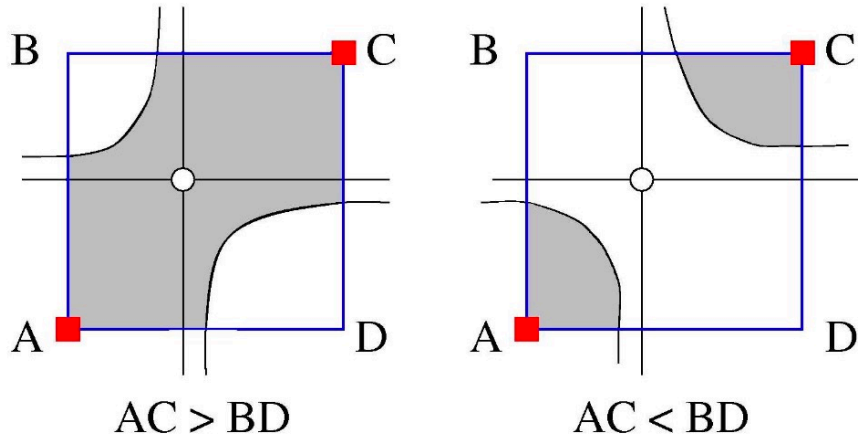
- 等値面を三角形メッシュとして抽出
- 立方体格子の各セルに対し、
 - (1) 立方体の 8 頂点で関数値を計算
 - (2) その正負のパターンから、生成する面のタイプを決定
 - 対称性から 15 通りに分類
 - (3) 関数値の線形補間から面の位置を決定



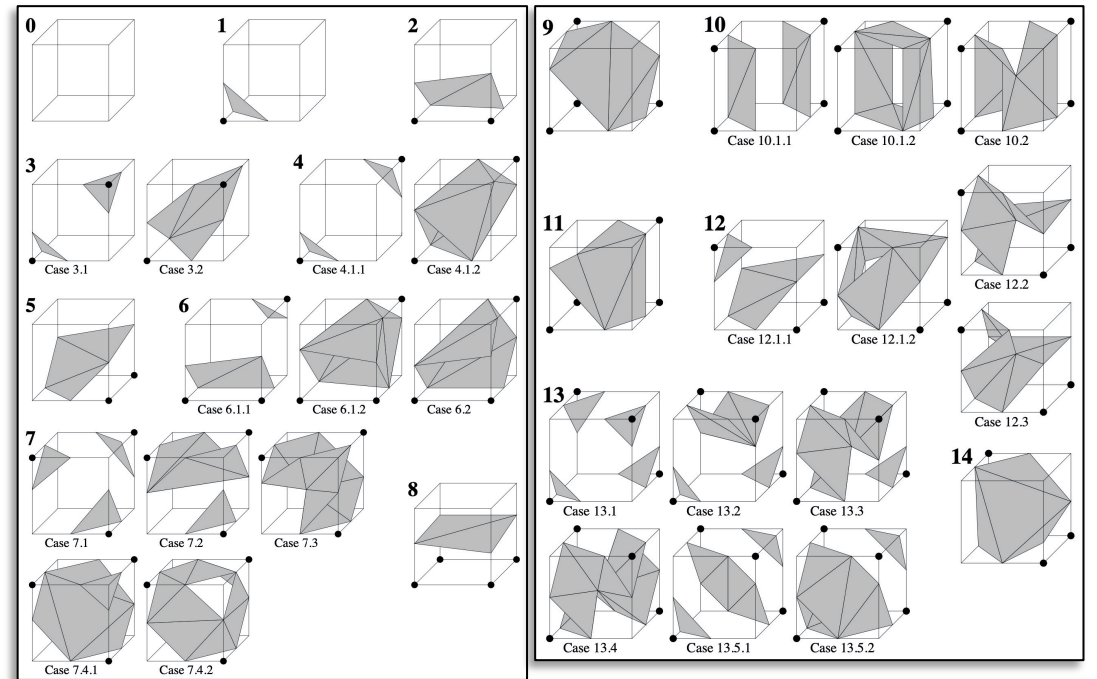
(特許で縛られていたが、期限が切れた)



Marching Cubes の曖昧性



隣接するセルの間で面が整合しない



解決法：Bilinear/Trilinear補間に基づいてトポロジを決定

曖昧性を解決するための33種類のパターン
(正しく実装するのは結構大変・・・)

The asymptotic decider: resolving the ambiguity in marching cubes [Nielson VIS91]

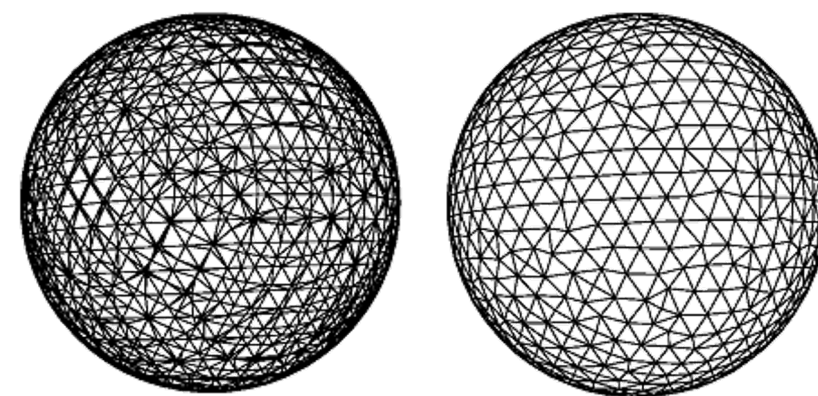
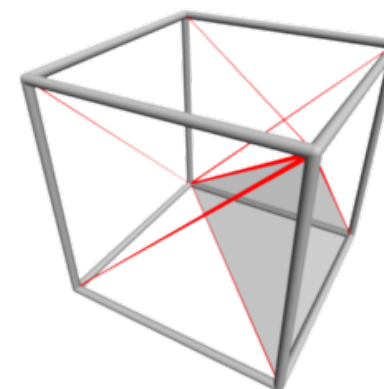
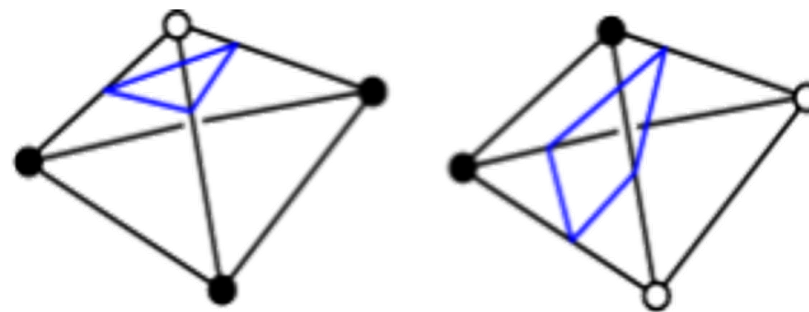
Marching cubes 33: Construction of topologically correct isosurfaces [Chernyaev Tech.Rep. 95]

Topology Verification for Isosurface Extraction [Etiene TVCG12]

A Fast and Memory Saving Marching Cubes 33 Implementation with the Correct Interior Test [Vega JCGT19]

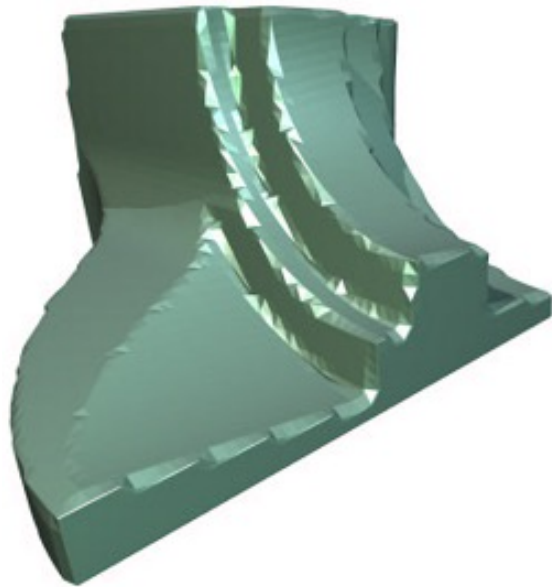
Marching Tetrahedra

- 立方体の代わりに四面体を使う
 - パターンが少なく、曖昧性が無い ☺
→ 実装が簡単
 - MCと比べて、三角形の数が多め ☹
- 各立方体セルを、6個の四面体に分割
 - (隣接セル間で分割の向きを合わせることに注意)
- きれいな三角形メッシュを取り出す工夫

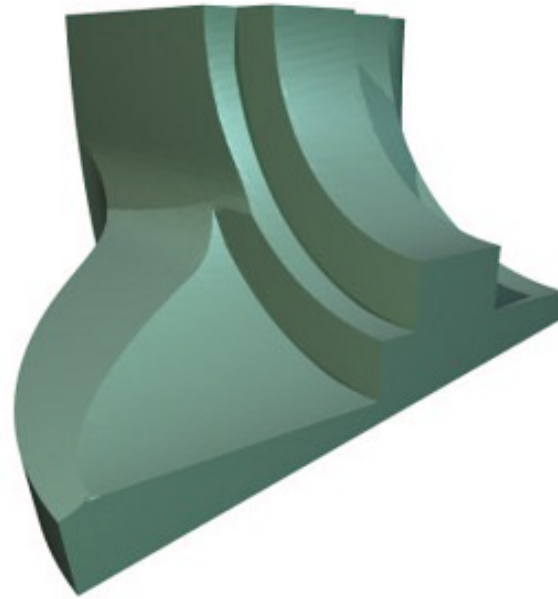


シャープなエッジを保持した等値面抽出

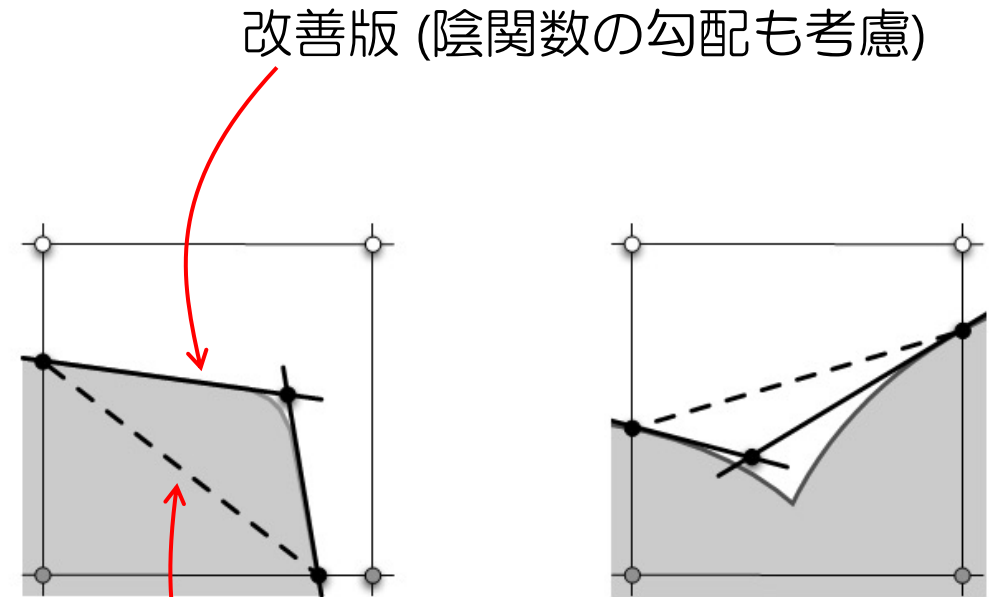
格子サイズ：65×65×65



Marching Cubes



改善版



改善版 (陰関数の勾配も考慮)

Marching Cubes (陰関数の値のみ考慮)

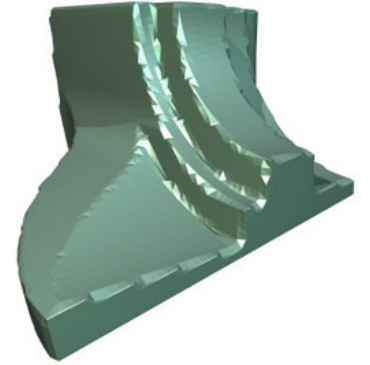
Feature Sensitive Surface Extraction from Volume Data [Kobbelt SIGGRAPH01]

Dual Contouring of Hermite Data [Ju SIGGRAPH02]

<http://www.graphics.rwth-aachen.de/IsoEx/>

サーフェスメッシュ表現のみに基づく CSG

- ボリューム表現 (=Marching Cubesによる等値面抽出)
→ 近似精度が格子の向きや解像度に依存 ☹

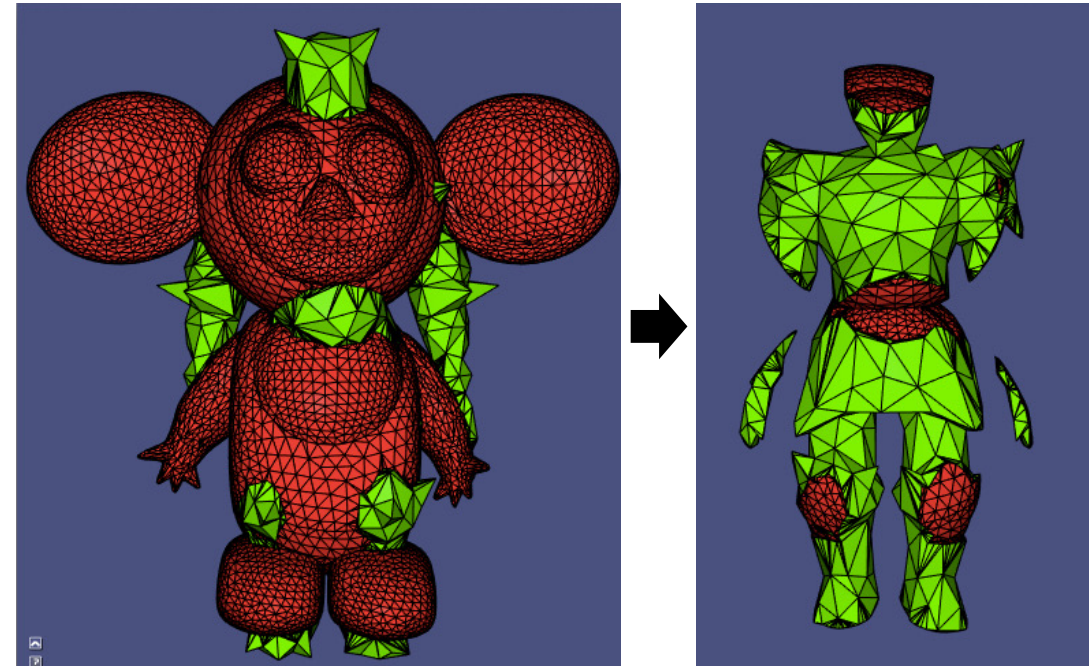


- サーフェスメッシュ表現による CSG
→ 元のメッシュの形状を確実に保持 ☺

- ロバストで効率的な実装が難しい ☹
 - 浮動小数の丸め誤差
 - 厳密に同じ位置で重複する複数の三角形



- ここ数年で著しく進化



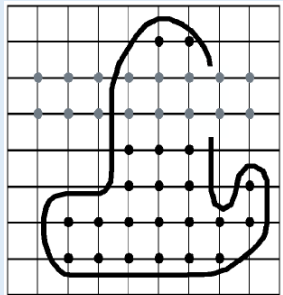
Fast, exact, linear booleans [Bernstein SGP09]

Exact and Robust (Self-)Intersections for Polygonal Meshes [Campen EG10]

Mesh Arrangements for Solid Geometry [Zhou SIGGRAPH16]

<https://libigl.github.io/libigl/tutorial/tutorial.html#booleanoperationsonmeshes>

メッシュの補修 (mesh repair)

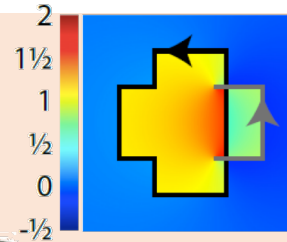


ボリューム表現

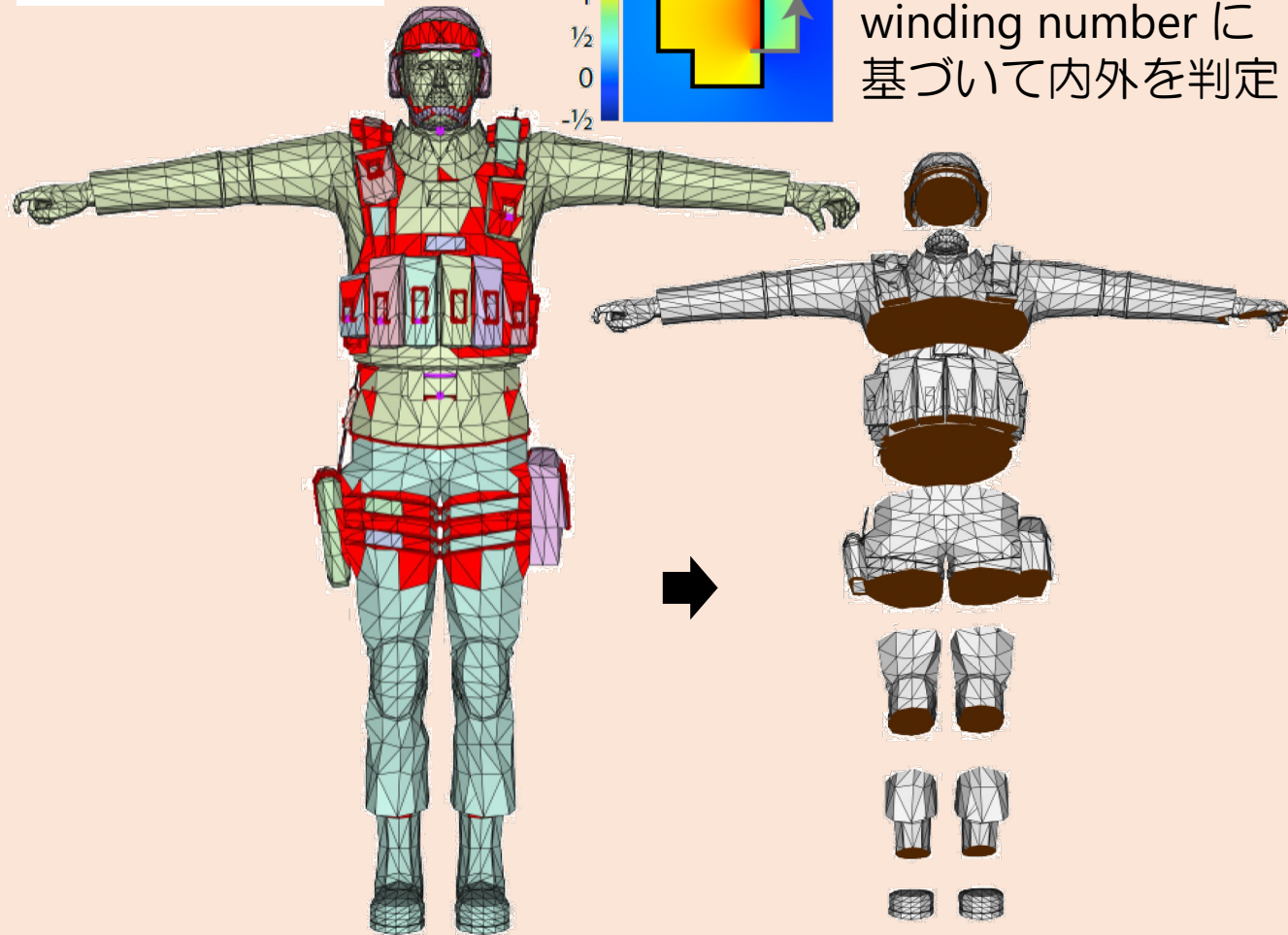
四方八方から飛ばしたレイとの交差に基づいて内外を判定



サーフェス表現



定義を拡張した winding number に基づいて内外を判定



点群からのサーフェス再構成

3D 形状の計測



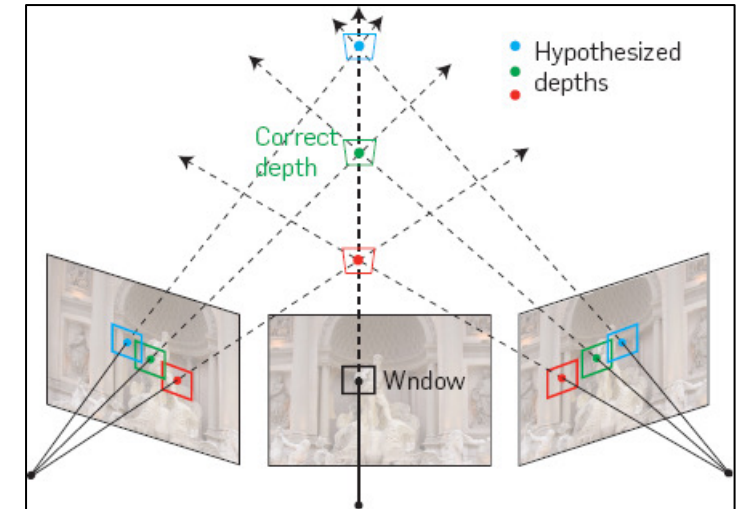
Range Scanner
(LIDAR)



Structured Light



Depth Camera



Multi-View Stereo

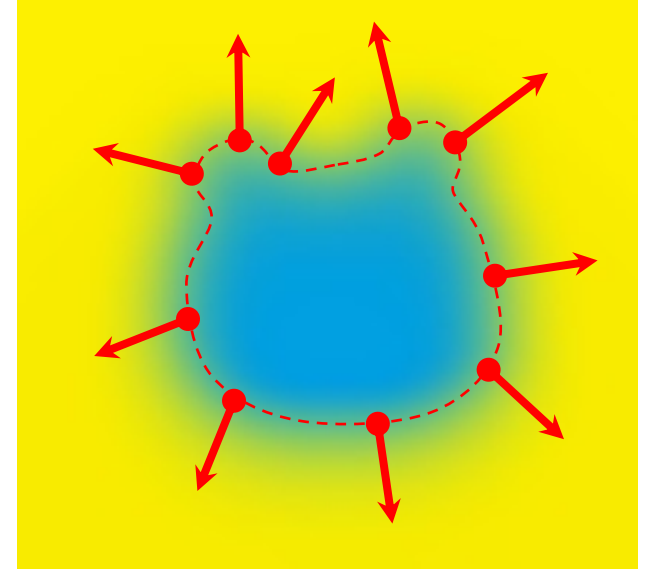
- 得られるデータ：点群
 - 3D座標
 - 法線 (面の向き)

- 法線が得られない場合 → 法線の推定
- ノイズが多すぎる場合 → ノイズの除去

} Computer Vision の代表的なテーマ

点群からのサーフェス形状再構成

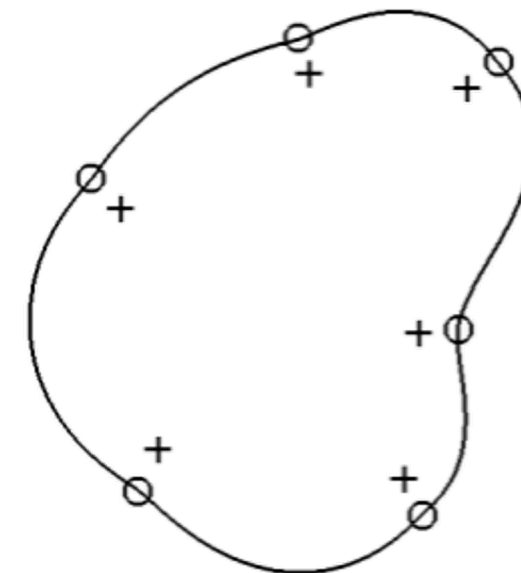
- 入力：N 個の点群データ
 - 座標 $\mathbf{x}_i = (x_i, y_i, z_i)$ と法線 $\mathbf{n}_i = (n_i^x, n_i^y, n_i^z)$, $i \in \{1, \dots, N\}$
- 出力：関数 $f(\mathbf{x})$ で、値と勾配の制約を満たすもの
 - $f(\mathbf{x}_i) = f_i$
 - $\nabla f(\mathbf{x}_i) = \mathbf{n}_i$
 - 等値面 $f(\mathbf{x}) = 0$ が出力サーフェス形状
- “Scattered Data Interpolation” と呼ばれる問題
 - **Moving Least Squares**
 - **Radial Basis Function**
 - CG以外の分野 (e.g. 機械学習) でも重要



勾配を制約する二通りの方法

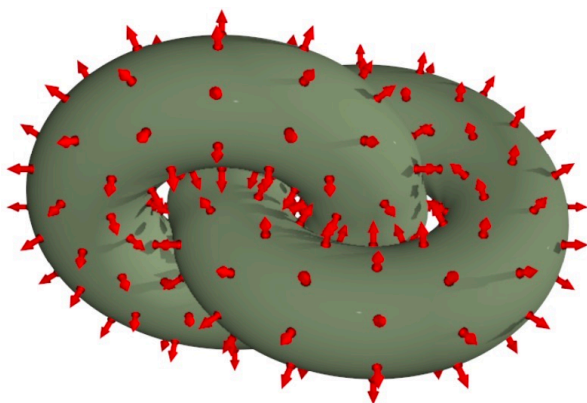
- 法線方向にオフセットした位置に値の制約を追加

- 簡単

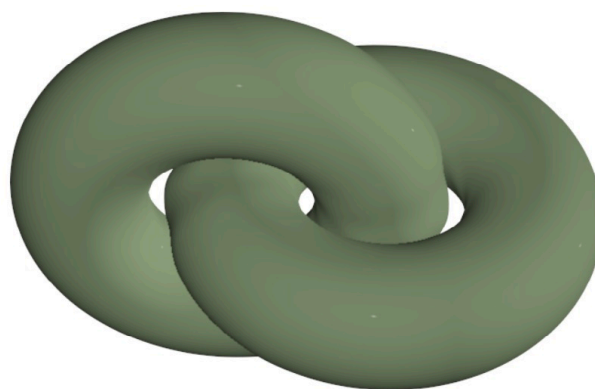


- 数学表現そのものに勾配制約を取り入れる (エルミート補間)

- 高品質



値と勾配の制約



エルミート補間



オフセット法

Moving Least Squares による補間 (移動最小二乗)

出発点：Least Squares (最小二乗)

- 求めたい関数が線形だと仮定する： $f(\mathbf{x}) = ax + by + cz + d$

- a, b, c, d が未知係数

$$\mathbf{x} := (x, y, z)$$

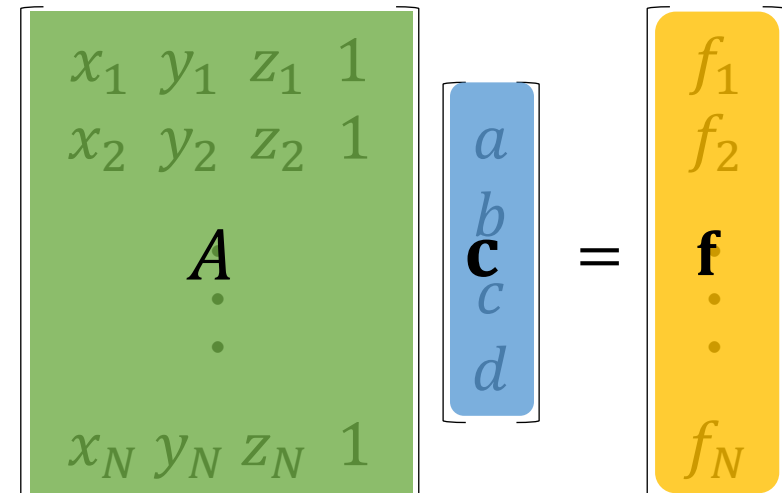
- データ点における値の制約

$$f(\mathbf{x}_1) = ax_1 + by_1 + cz_1 + d = f_1$$

$$f(\mathbf{x}_2) = ax_2 + by_2 + cz_2 + d = f_2$$

⋮

$$f(\mathbf{x}_N) = ax_N + by_N + cz_N + d = f_N$$

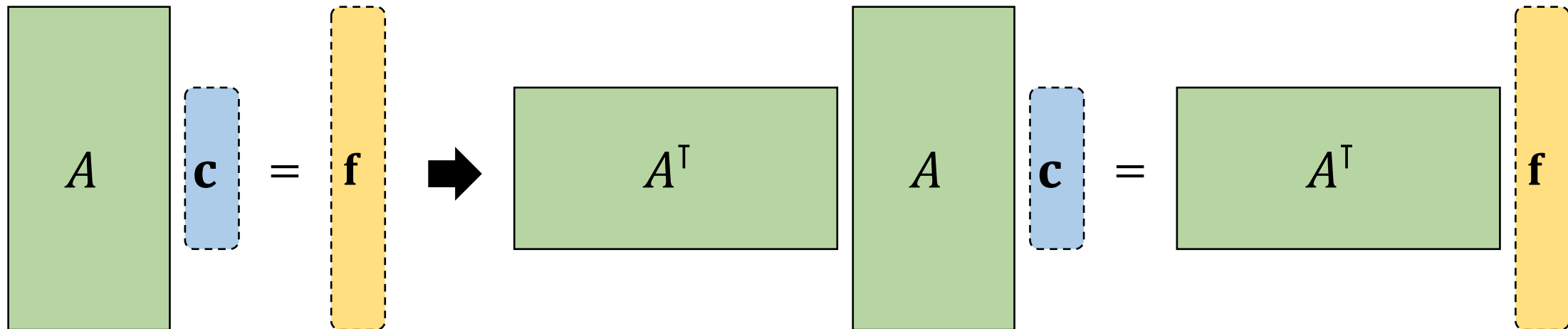


The diagram illustrates the matrix equation $A\mathbf{c} = \mathbf{f}$. On the left, a green matrix A is shown with rows $(x_1, y_1, z_1, 1)$, $(x_2, y_2, z_2, 1)$, and $(x_N, y_N, z_N, 1)$. The center of the matrix is labeled A . To its right is a blue column vector \mathbf{c} containing the coefficients a, b, c, d . An equals sign follows, and to the right is a yellow column vector \mathbf{f} containing the values f_1, f_2, \dots, f_N .

- (勾配制約は今は考えない)

Overconstrained System

- #未知数 < #制約 (i.e. 縦長の行列) → 全ての制約を同時に満たせない



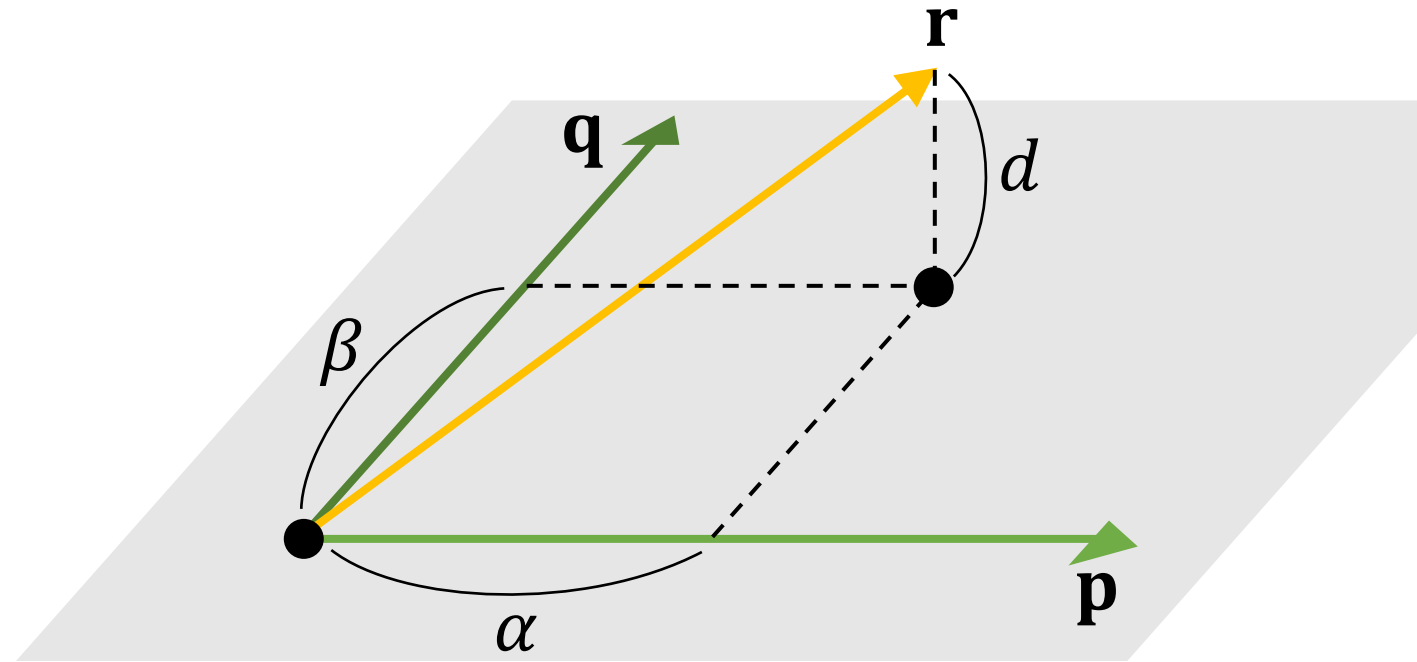
- fitting の誤差を最小化 :

$$\|A\mathbf{c} - \mathbf{f}\|^2 = \sum_{i=1}^N \|f(\mathbf{x}_i) - f_i\|^2$$

$$\mathbf{c} = (A^T A)^{-1} A^T \mathbf{f}$$

LSQ の幾何的な解釈

$$\begin{bmatrix} p_x & q_x \\ p_y & q_y \\ p_z & q_z \end{bmatrix} \begin{bmatrix} \alpha \\ \beta \end{bmatrix} = \begin{bmatrix} r_x \\ r_y \\ r_z \end{bmatrix}$$



- \mathbf{p} と \mathbf{q} が張る空間中で \mathbf{r} に最も近い点を求める (投影する) ことに相当
 - fitting 誤差は投影距離に相当：

$$d^2 = \|\alpha \mathbf{p} + \beta \mathbf{q} - \mathbf{r}\|^2$$

Weighted Least Squares (重み付き最小二乗)

- 各データ点ごとの誤差に、重み w_i をつける
 - 重要度、確信度
- 以下の誤差を最小化：

$$\sum_{i=1}^N \|w_i(f(\mathbf{x}_i) - f_i)\|^2$$

The diagram illustrates the matrix formulation of the Weighted Least Squares problem. It shows the equation $W \cdot A \cdot \begin{bmatrix} a \\ b \\ c \\ d \end{bmatrix} = W \cdot \mathbf{f}$.

- Weight Matrix W (purple box):** A diagonal matrix with weights w_1, w_2, \dots, w_N on the diagonal.
- Design Matrix A (green box):** A matrix with rows representing data points: $\begin{bmatrix} x_1 & y_1 & z_1 & 1 \\ x_2 & y_2 & z_2 & 1 \\ \vdots & \vdots & \vdots & \vdots \\ x_N & y_N & z_N & 1 \end{bmatrix}$.
- Parameter Vector \mathbf{c} (blue box):** A column vector $\begin{bmatrix} a \\ b \\ c \\ d \end{bmatrix}$.
- Observed Values Vector \mathbf{f} (yellow box):** A column vector $\begin{bmatrix} f_1 \\ f_2 \\ \vdots \\ f_N \end{bmatrix}$.

Weighted Least Squares (重み付き最小二乗)

$$Wc = Wf$$
$$\rightarrow c = (A^T W^2 A)^{-1} A^T W^2 f$$

Moving Least Squares (移動最小二乗)

- 重み w_i が、評価位置 \mathbf{x} に依存：

$$w_i(\mathbf{x}) = w(\|\mathbf{x} - \mathbf{x}_i\|)$$

- よく使われる関数 (Kernel) :

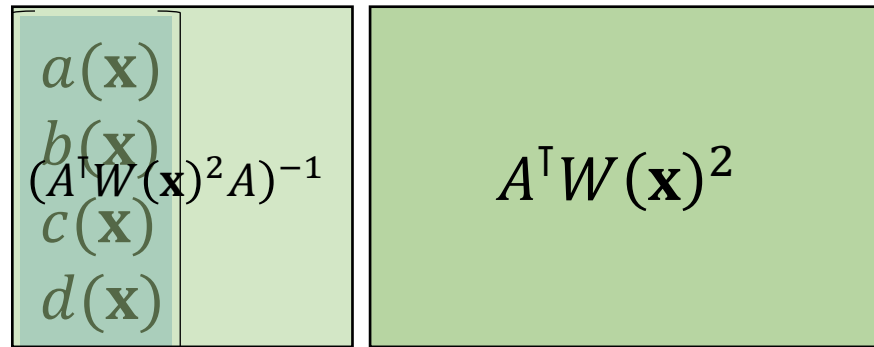
- $w(r) = e^{-r^2/\sigma^2}$

- $w(r) = \frac{1}{r^2 + \epsilon^2}$

評価位置に近いほど
大きな重み

- 重み行列 W が \mathbf{x} に依存
→ 係数 a, b, c, d が \mathbf{x} に依存

$$f(\mathbf{x}) = [x \ y \ z \ 1]$$



- 評価点ごとに
方程式を解き直す

法線制約の導入

- 各データ点が表す 1 次式を考える：

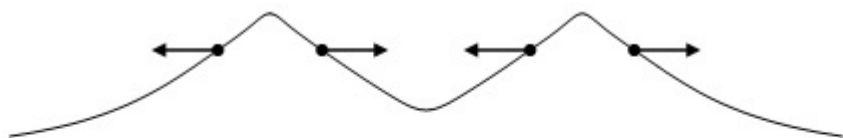
$$g_i(\mathbf{x}) = f_i + (\mathbf{x} - \mathbf{x}_i)^\top \mathbf{n}_i$$

- 各 g_i を現在位置で評価したときの誤差を最小化：

$$\sum_{i=1}^N \|w_i(\mathbf{x})(f(\mathbf{x}) - g_i(\mathbf{x}))\|^2$$

$$\begin{bmatrix} w_1(\mathbf{x}) \\ w_2(\mathbf{x}) \\ \vdots \\ w_N(\mathbf{x}) \end{bmatrix} \begin{bmatrix} x & y & z & 1 \\ x & y & z & 1 \\ \vdots & \vdots & \vdots & \vdots \\ x & y & z & 1 \end{bmatrix} \begin{bmatrix} a \\ b \\ c \\ d \end{bmatrix} = \begin{bmatrix} w_1(\mathbf{x}) \\ w_2(\mathbf{x}) \\ \vdots \\ w_N(\mathbf{x}) \end{bmatrix} \begin{bmatrix} g_1(\mathbf{x}) \\ g_2(\mathbf{x}) \\ \vdots \\ g_N(\mathbf{x}) \end{bmatrix}$$

法線制約の導入



法線制約を利用



法線方向にオフセットして値を制約



Input : Polygon Soup

Interpolation

Approximation 1

Approximation 2

Approximation 3

Radial Basis Function による補間 (放射基底関数)

基本的な考え方

- 関数 $f(\mathbf{x})$ を、基底関数 $\phi(\mathbf{x})$ の重み付き和として定義：

$$f(\mathbf{x}) = \sum_{i=1}^N w_i \phi(\mathbf{x} - \mathbf{x}_i)$$

未知数

基底関数をデータ位置 \mathbf{x}_i に平行移動

(Radial Basis Function)

- 放射基底関数 $\phi(\mathbf{x})$: \mathbf{x} の長さのみに依存

- $\phi(\mathbf{x}) = e^{-\|\mathbf{x}\|^2/\sigma^2}$ (Gaussian)
- $\phi(\mathbf{x}) = \frac{1}{\sqrt{\|\mathbf{x}\|^2 + c^2}}$ (Inverse Multiquadric)

- 各データ点における制約 $f(\mathbf{x}_i) = f_i$ から、重み係数 w_i を求める

基本的な考え方

$\phi_{i,j} = \phi(\mathbf{x}_i - \mathbf{x}_j)$ と表記する

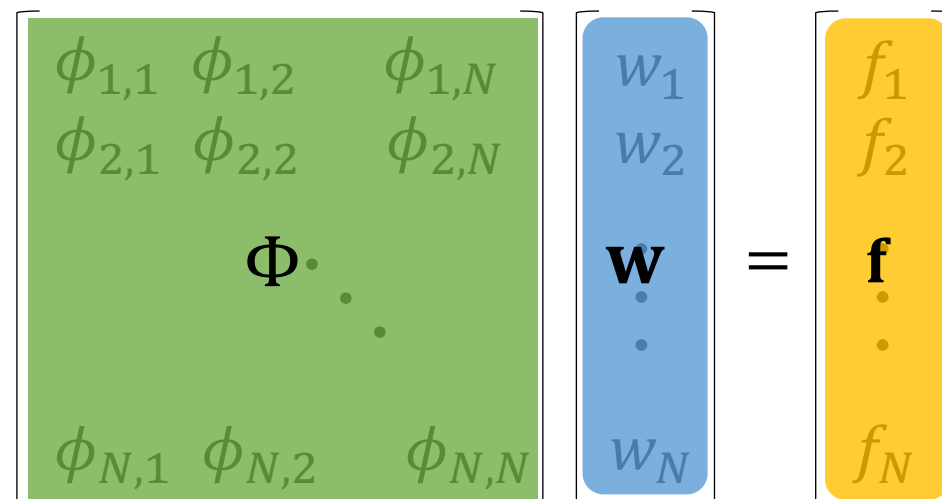
$$f(\mathbf{x}_1) = w_1\phi_{1,1} + w_2\phi_{1,2} + \dots + w_N\phi_{1,N} = f_1$$

$$f(\mathbf{x}_2) = w_1\phi_{2,1} + w_2\phi_{2,2} + \dots + w_N\phi_{2,N} = f_2$$

⋮

$$f(\mathbf{x}_N) = w_1\phi_{N,1} + w_2\phi_{N,2} + \dots + w_N\phi_{N,N} = f_N$$

$$f(\mathbf{x}) = \sum_{i=1}^N w_i \phi(\mathbf{x} - \mathbf{x}_i)$$



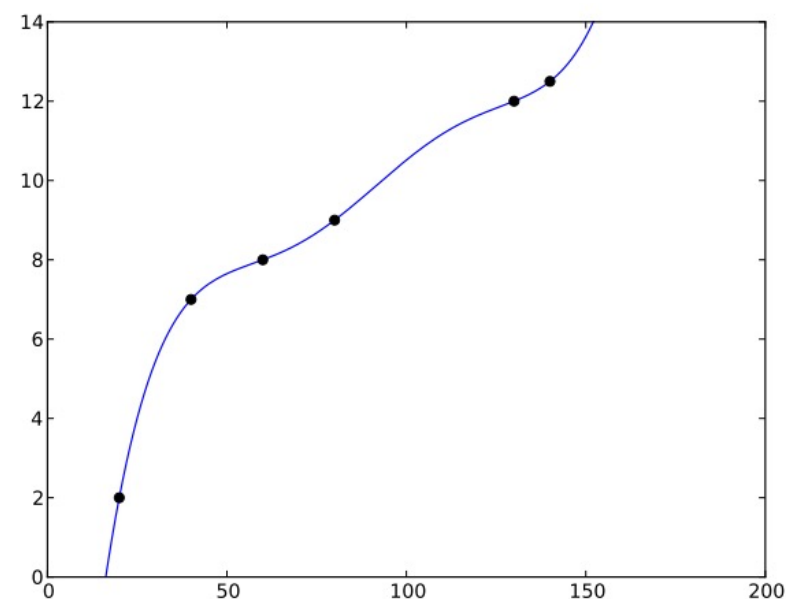
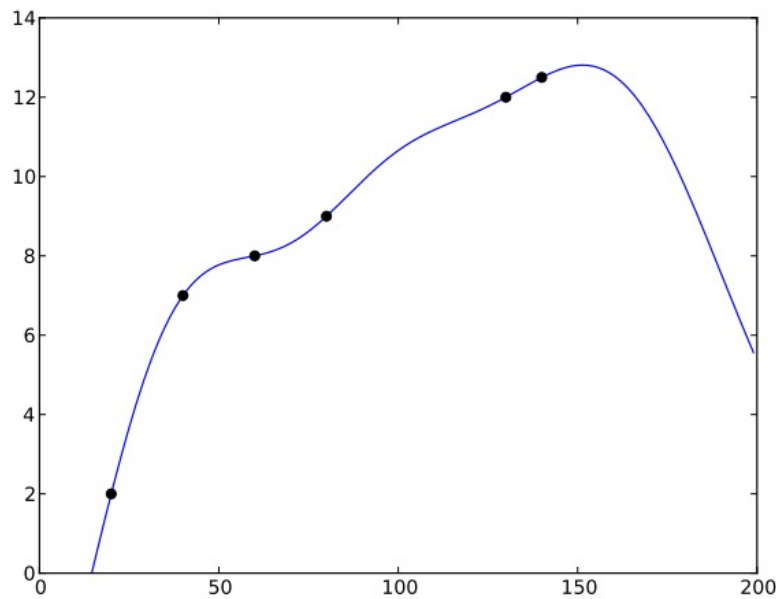
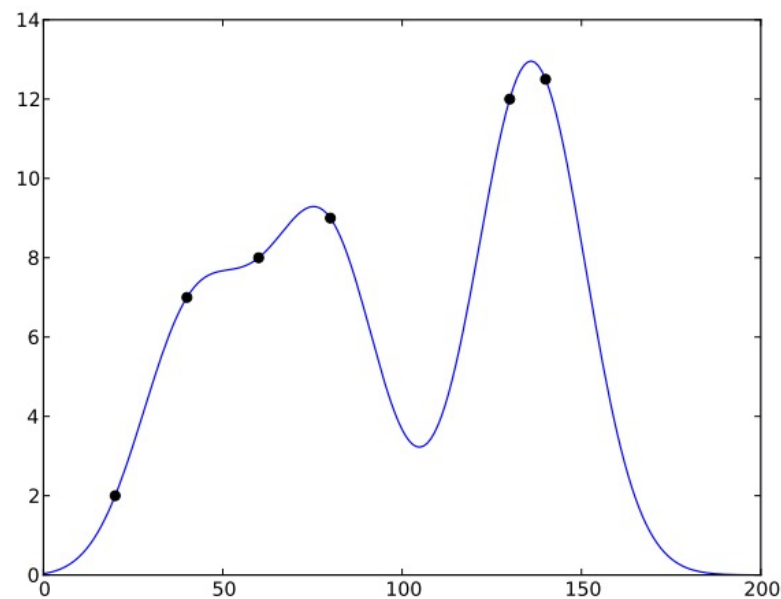
A diagram illustrating the matrix equation $\Phi \mathbf{w} = \mathbf{f}$. On the left, a green rectangular box contains the matrix Φ with elements $\phi_{1,1}, \phi_{1,2}, \phi_{1,N}$ in the first row, $\phi_{2,1}, \phi_{2,2}, \phi_{2,N}$ in the second row, and $\phi_{N,1}, \phi_{N,2}, \phi_{N,N}$ in the last row. A large Φ symbol is centered within this box. To the right of the matrix box is a blue vertical box containing the weight vector \mathbf{w} with elements w_1, w_2, \dots, w_N . To the right of the weight vector box is an equals sign, followed by a yellow vertical box containing the target vector \mathbf{f} with elements f_1, f_2, \dots, f_N .

これを解けば良い

Gaussian 基底関数を使う場合

$$\phi(\mathbf{x}) = e^{-\|\mathbf{x}\|^2/\sigma^2}$$

- パラメタ σ の選び方によって、結果が大きく変わる！



σ 小 大

- なるべく滑らかな結果を得るには？

関数の滑らかさの尺度

$$E_m[f] := \int_{\mathbb{R}^d} \|\nabla^m f(\mathbf{x})\|^2 d\mathbf{x}$$

	2D	3D
$m = 2$	$\nabla^2 f(x, y) := (f_{xx}, f_{xy}, f_{yx}, f_{yy})$ $E_2[f] := \int_{\mathbb{R}^2} f_{xx}^2 + f_{yy}^2 + 2f_{xy}^2 \text{ "Thin-plate" energy}$	$\nabla^2 f(x, y, z) := (f_{xx}, f_{xy}, f_{xz}, f_{yx}, f_{yy}, f_{yz}, f_{zx}, f_{zy}, f_{zz})$ $E_2[f] := \int_{\mathbb{R}^3} f_{xx}^2 + f_{yy}^2 + f_{zz}^2 + 2(f_{xy}^2 + f_{yz}^2 + f_{zx}^2)$
$m = 3$	$\nabla^3 f(x, y) := (f_{xxx}, f_{xxy}, f_{xyx}, f_{xyy}, f_{yxx}, f_{yxy}, f_{yyx}, f_{yyy})$ $E_3[f] := \int_{\mathbb{R}^2} f_{xxx}^2 + f_{yyy}^2 + 2(f_{xxy}^2 + f_{yyx}^2)$	$\nabla^3 f(x, y) := \begin{pmatrix} f_{xxx}, f_{xxy}, f_{xxz}, f_{xyx}, f_{xyy}, f_{xyz}, f_{xzx}, f_{xzy}, f_{xzz}, \\ f_{yxx}, f_{yxy}, f_{yxz}, f_{yyx}, f_{yyy}, f_{yyz}, f_{yzy}, f_{yzz}, \\ f_{zxx}, f_{zxy}, f_{zxz}, f_{zyx}, f_{zyy}, f_{zyz}, f_{zzx}, f_{zzy}, f_{zzz} \end{pmatrix}$ $E_3[f] := \int_{\mathbb{R}^3} f_{xxx}^2 + f_{yyy}^2 + f_{zzz}^2 + 3(f_{xxy}^2 + f_{yyz}^2 + f_{zzx}^2 + f_{xyy}^2 + f_{yzz}^2 + f_{zxx}^2) + f_{xyz}^2$

偉大な発見 (Duchon 1977)

- 制約 $\{f(\mathbf{x}_i) = f_i\}$ を満たす関数全体のうち、 $E_m[f]$ を最小化するものは以下のRBF基底を使って表せる！
 - 空間次元数が奇数の場合： $\phi(\mathbf{x}) = \|\mathbf{x}\|^{2m-3}$
 - 空間次元数が偶数の場合： $\phi(\mathbf{x}) = \|\mathbf{x}\|^{2m-2} \log\|\mathbf{x}\|$
 - ただし $\phi(0) = 0$ とする
- よく使われるもの：
 - 2Dの場合： $\phi(\mathbf{x}) = \|\mathbf{x}\|^2 \log\|\mathbf{x}\|$ (E_2 を最小化)
 - 3Dの場合： $\phi(\mathbf{x}) = \|\mathbf{x}\|^3$ (E_3 を最小化)

線形項の追加

- $E_m[f]$ (ただし $m \geq 2$) は 2 階以上の微分を使って定義される
→ 任意の線形項 $p(\mathbf{x}) = ax + by + cz + d$ を加えても不変：

$$E_m[f + p] = E_m[f] \quad \forall f$$

- 線形項を未知数に含めることで、関数を一意に定める：

$$f(\mathbf{x}) = \sum_{i=1}^N w_i \phi(\mathbf{x} - \mathbf{x}_i) + ax + by + cz + d$$

線形項の追加

$$f(\mathbf{x}_1) = w_1\phi_{1,1} + w_2\phi_{1,2} + \dots + w_N\phi_{1,N} + ax_1 + by_1 + cz_1 + d = f_1$$

$$f(\mathbf{x}_2) = w_1\phi_{2,1} + w_2\phi_{2,2} + \dots + w_N\phi_{2,N} + ax_2 + by_2 + cz_2 + d = f_2$$

⋮

$$f(\mathbf{x}_N) = w_1\phi_{N,1} + w_2\phi_{N,2} + \dots + w_N\phi_{N,N} + ax_N + by_N + cz_N + d = f_N$$

$$\begin{bmatrix}
 \phi_{1,1} & \phi_{1,2} & \phi_{1,N} & x_1 & y_1 & z_1 & 1 \\
 \phi_{2,1} & \phi_{2,2} & \phi_{2,N} & x_2 & y_2 & z_2 & 1 \\
 \dots & \dots & \dots & \dots & \dots & \dots & \dots \\
 \phi_{N,1} & \phi_{N,2} & \phi_{N,N} & x_N & y_N & z_N & 1
 \end{bmatrix}
 \begin{bmatrix}
 w_1 \\
 w_2 \\
 \vdots \\
 w_N \\
 a \\
 b \\
 c \\
 d
 \end{bmatrix}
 =
 \begin{bmatrix}
 f_1 \\
 f_2 \\
 \vdots \\
 f_N
 \end{bmatrix}$$

4 個の未知数 a, b, c, d が追加されたので、4 個の制約を追加する必要がある

追加の制約条件：線形関数の再現性

- 「全てのデータ点の制約 (\mathbf{x}_i, f_i) がある線形関数からのサンプリングであるとき、RBF による補間結果はその線形関数と一致する」

- これを満たすための条件：

- $\sum_{i=1}^N w_i = 0$
- $\sum_{i=1}^N x_i w_i = 0$
- $\sum_{i=1}^N y_i w_i = 0$
- $\sum_{i=1}^N z_i w_i = 0$

- 行列がちょうど対称になる

$$\begin{bmatrix}
 \phi_{1,1} & \phi_{1,2} & \phi_{1,N} & x_1 & y_1 & z_1 & 1 \\
 \phi_{2,1} & \phi_{2,2} & \phi_{2,N} & x_2 & y_2 & z_2 & 1 \\
 & & & & & & \\
 & & & & & & \\
 & & & & & & \\
 \phi_{N,1} & \phi_{N,2} & \phi_{N,N} & x_N & y_N & z_N & 1 \\
 x_1 & x_2 & x_N & 0 & 0 & 0 & 0 \\
 y_1 & y_2 & y_N & 0 & 0 & 0 & 0 \\
 z_1 & z_2 & z_N & 0 & 0 & 0 & 0 \\
 1 & 1 & 1 & 0 & 0 & 0 & 0
 \end{bmatrix}
 \begin{bmatrix}
 w_1 \\
 w_2 \\
 \vdots \\
 w_N \\
 a \\
 b \\
 c \\
 d
 \end{bmatrix}
 =
 \begin{bmatrix}
 f_1 \\
 f_2 \\
 \vdots \\
 f_N \\
 0 \\
 0 \\
 0 \\
 0
 \end{bmatrix}$$

勾配制約の導入

- 基底関数の勾配 $\nabla\phi$ の重み付き和を導入：

$$f(\mathbf{x}) = \sum_{i=1}^N \{w_i \phi(\mathbf{x} - \mathbf{x}_i) + \mathbf{v}_i^T \nabla\phi(\mathbf{x} - \mathbf{x}_i)\} + ax + by + cz + d$$

未知数の3Dベクトル

- f の勾配：

$$\nabla f(\mathbf{x}) = \sum_{i=1}^N \{w_i \nabla\phi(\mathbf{x} - \mathbf{x}_i) + \mathbf{H}_\phi(\mathbf{x} - \mathbf{x}_i) \mathbf{v}_i\} + \begin{bmatrix} a \\ b \\ c \end{bmatrix}$$

- 勾配の制約 $\nabla f(\mathbf{x}_i) = \mathbf{n}_i$ を追加

$$\mathbf{H}_\phi(\mathbf{x}) = \begin{pmatrix} \phi_{xx} & \phi_{xy} & \phi_{xz} \\ \phi_{yx} & \phi_{yy} & \phi_{yz} \\ \phi_{zx} & \phi_{zy} & \phi_{zz} \end{pmatrix}$$

Hessian 行列 (関数)

勾配制約の導入

- 1 番目のデータ点について：

値の制約：

$$f(\mathbf{x}_1) = w_1 \phi_{1,1} + \mathbf{v}_1^T \nabla \phi_{1,1} + w_2 \phi_{1,2} + \mathbf{v}_2^T \nabla \phi_{1,2} + \dots + w_N \phi_{1,N} + \mathbf{v}_N^T \nabla \phi_{1,N}$$

勾配の制約：

$$\nabla f(\mathbf{x}_1) = w_1 \nabla \phi_{1,1} + H_{\phi}^{1,1} \mathbf{v}_1 + w_2 \nabla \phi_{1,2} + H_{\phi}^{1,2} \mathbf{v}_2 + \dots + w_N \nabla \phi_{1,N} + H_{\phi}^{1,N} \mathbf{v}_N$$

$$\left[\begin{array}{cc|cc|c} \phi_{1,1} & (\nabla \phi_{1,1})^T & \phi_{1,2} & (\nabla \phi_{1,2})^T & \dots & \phi_{1,N} & (\nabla \phi_{1,N})^T & x_1 & y_1 & z_1 & 1 \\ \hline \nabla \phi_{1,1} & \Phi_{1,1,1} & \nabla \phi_{1,2} & \Phi_{1,2,2} & \dots & \nabla \phi_{1,N} & \Phi_{1,N,N} & 1 & 0 & 0 & 0 \\ \hline & & & & & & & 0 & 1 & 0 & 0 \\ \hline & & & & & & & 0 & 0 & 1 & 0 \end{array} \right]$$

$$\begin{bmatrix} w_1 \\ \mathbf{v}_1 \\ w_2 \\ \mathbf{v}_2 \\ \vdots \\ \vdots \\ \vdots \\ w_N \\ \mathbf{v}_N \\ a \\ b \\ c \\ d \end{bmatrix}$$

$$by_1 + cz_1 + d = f_1$$

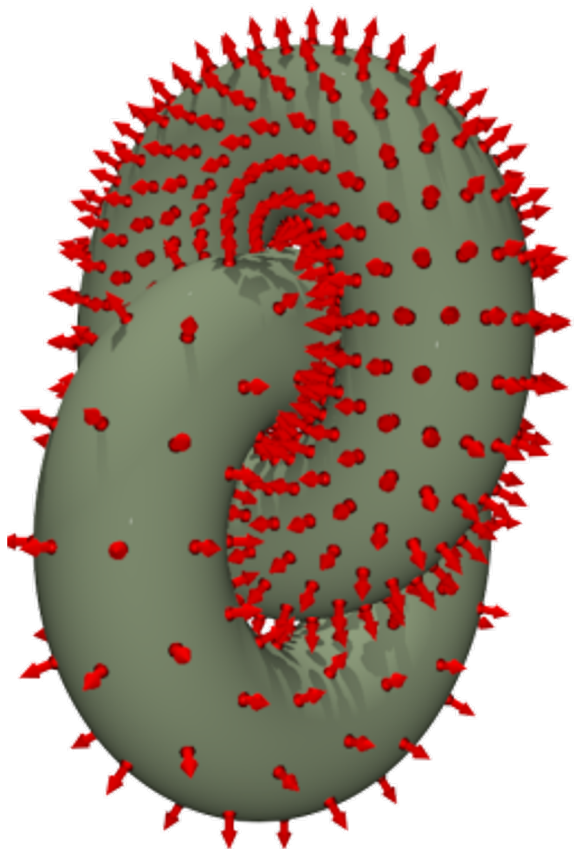
$$\mathbf{n}_1$$

=

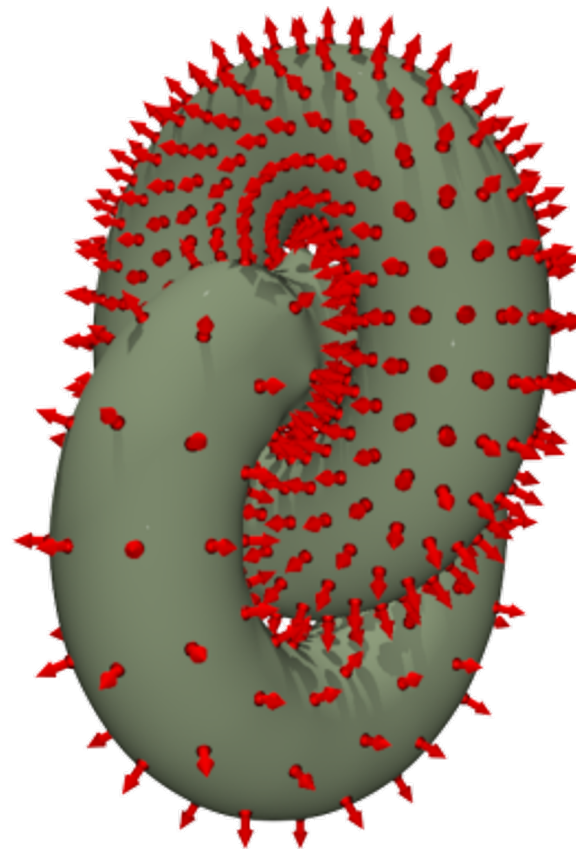
$$\begin{bmatrix} f_1 \\ \mathbf{n}_1 \end{bmatrix}$$

$$\begin{bmatrix}
 \begin{matrix} \Phi_{1,1} & \Phi_{1,2} & \dots & \Phi_{1,N} & P_1 \end{matrix} \\
 \begin{matrix} \Phi_{2,1} & \Phi_{2,2} & \dots & \Phi_{2,N} & P_2 \end{matrix} \\
 \vdots & \vdots & \ddots & \vdots & \vdots \\
 \begin{matrix} \Phi_{N,1} & \Phi_{N,2} & \dots & \Phi_{N,N} & P_N \end{matrix} \\
 \begin{matrix} P_1^\top & P_2^\top & \dots & P_N^\top & \begin{matrix} 0 & 0 & 0 & 0 \\ 0 & 0 & 0 & 0 \\ 0 & 0 & 0 & 0 \\ 0 & 0 & 0 & 0 \end{matrix} \end{matrix}
 \end{bmatrix}
 \begin{bmatrix}
 \begin{matrix} w_1 \\ \mathbf{v}_1 \end{matrix} \\
 \begin{matrix} w_2 \\ \mathbf{v}_2 \end{matrix} \\
 \vdots \\
 \begin{matrix} w_N \\ \mathbf{v}_N \end{matrix} \\
 \begin{matrix} a \\ b \\ c \\ d \end{matrix}
 \end{bmatrix}
 =
 \begin{bmatrix}
 \begin{matrix} f_1 \\ \mathbf{n}_1 \end{matrix} \\
 \begin{matrix} f_2 \\ \mathbf{n}_2 \end{matrix} \\
 \vdots \\
 \begin{matrix} f_N \\ \mathbf{n}_N \end{matrix} \\
 \begin{matrix} 0 \\ 0 \\ 0 \\ 0 \end{matrix}
 \end{bmatrix}$$

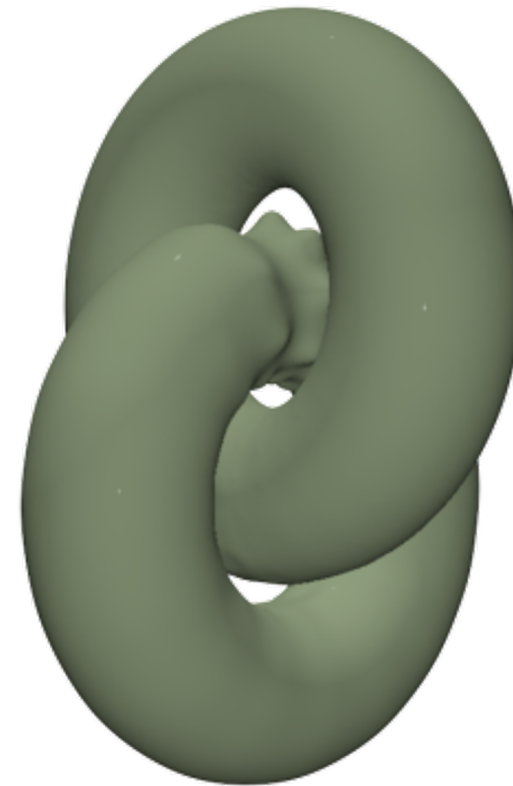
比較



勾配を制約



オフセットして値を制約



最近の研究：グローバルな法線推定

- サンプル点 $\{\mathbf{x}_i\}$ における法線 $\{\mathbf{n}_i\}$ が未知のとき、

$$\text{値の制約} \quad f(\mathbf{x}_i) = 0$$

$$\text{勾配の制約} \quad \nabla f(\mathbf{x}_i) = \mathbf{n}_i$$

を満たすような関数 f を、RBFを使って一意に定めることができる

→ つまり関数は、未知数の法線 $\{\mathbf{n}_i\}$ に依存して定まる： $f_{\{\mathbf{n}_i\}}$

→ その滑らかさを測るエネルギーも、 $\{\mathbf{n}_i\}$ に依存して定まる：

$$E_{\{\mathbf{n}_i\}} := E[f_{\{\mathbf{n}_i\}}]$$

$$= \mathbf{n}^\top H \mathbf{n}$$

$$\mathbf{n} = \begin{pmatrix} \vdots \\ \mathbf{n}_i^\top \\ \vdots \end{pmatrix}$$

行列 H は $\{\mathbf{x}_i\}$ のみに依存して定まる

- 2次制約付き2次計画問題として定式化：

$$\text{minimize } \mathbf{n}^\top H \mathbf{n}$$

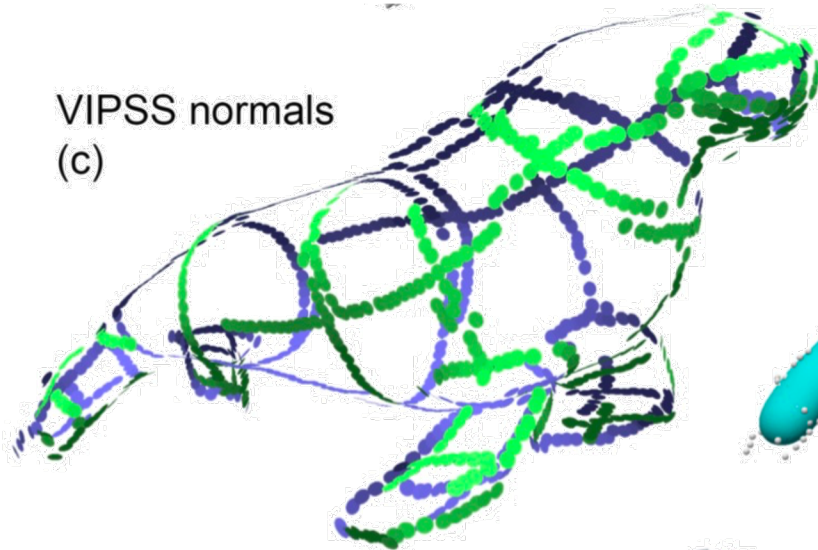
$$\text{s. t. } \mathbf{n}_i^\top \mathbf{n}_i = 1 \quad \forall i$$

最近の研究：グローバルな法線推定

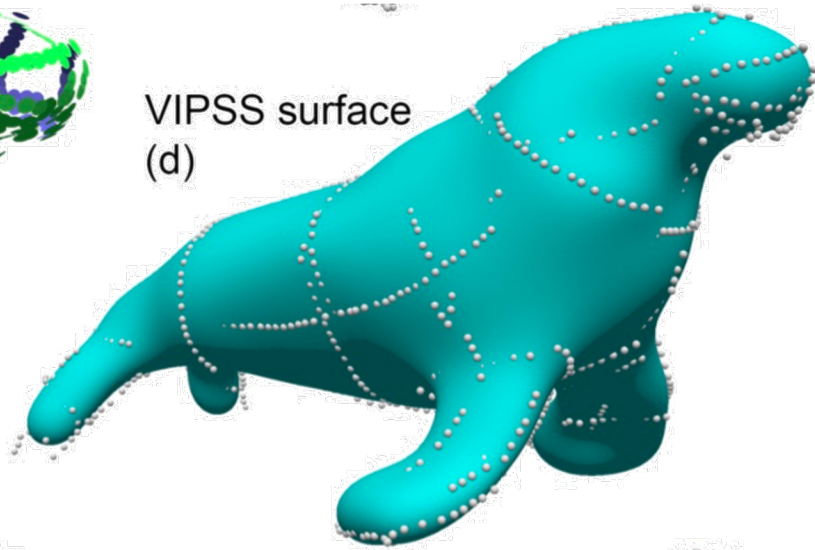
入力点群



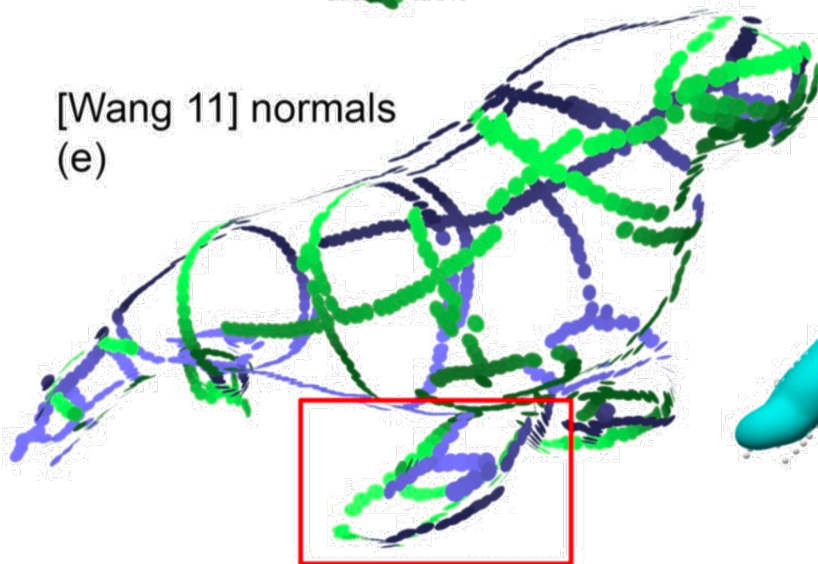
VIPSS normals
(c)



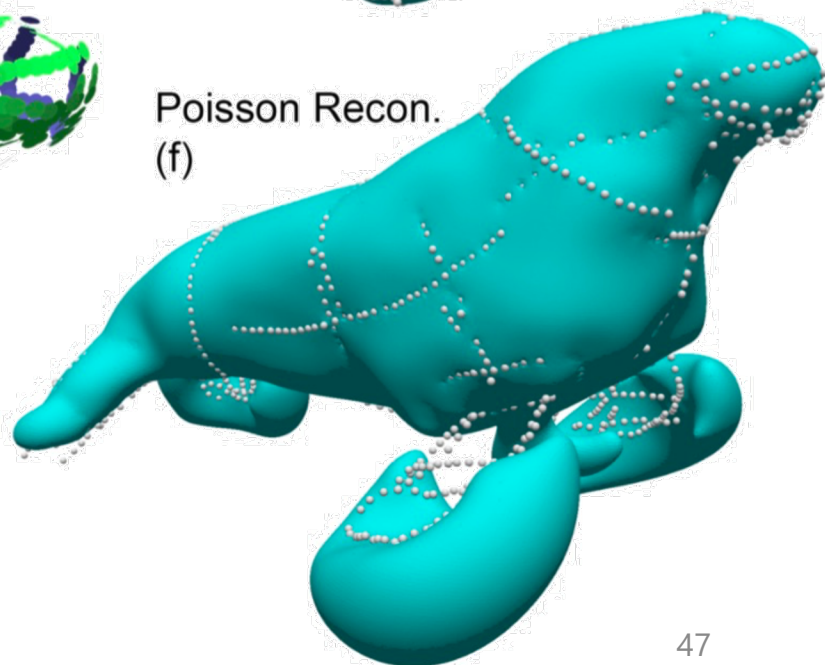
VIPSS surface
(d)



[Wang 11] normals
(e)



Poisson Recon.
(f)



参考サーベイ等

- State of the Art in Surface Reconstruction from Point Clouds [Berger EG14 STAR]
- A survey of methods for moving least squares surfaces [Cheng PBG08]
- Scattered Data Interpolation for Computer Graphics [Anjyo SIGGRAPH14 Course]
- An as-short-as-possible introduction to the least squares, weighted least squares and moving least squares for scattered data approximation and interpolation [Nealen TechRep04]

参考ページ

- http://en.wikipedia.org/wiki/Implicit_surface
- http://en.wikipedia.org/wiki/Radial_basis_function
- http://en.wikipedia.org/wiki/Thin_plate_spline
- http://en.wikipedia.org/wiki/Polyharmonic_spline